

시멘트의 水和反應

崔 相 紇

〈漢陽大學校 工大教授〉

1. 序 言

시멘트는 물과 反應하여 各種 水和物을 形成하면서 凝結 硬化된다. 그러나 水和生成物, 水和反應速度·機構 및 強度發現狀態는 시멘트가 含有하고 있는 시멘트 鑽物組成과 微量成分 및 그 量, 粉末度, 水和時의 微量成分의 存在와 水和溫度等의 水和反應條件에 따라 다르며 매우 複雜하다.

포틀랜드 시멘트를 常溫에서 水和하면 CSH로 表示되는 非晶質 物質과 $\text{Ca}(\text{OH})_2$ 그리고 ettringite 등 水和物이 生成된다.

本稿에서는 포틀랜드 시멘트 클링커 鑽物의 水和反應性과 水和反應機構에 對한 最近의 理論과 水和反應에 미치는 클링커鑽物 組成과 微量成分, 粉末度의 영향에 對하여 論하고, 高爐水淬슬래그의 水和反應과 轉爐슬래그의 改質에 따른 水和反應에 對하여 記述코자 한다.

2. 포틀랜드 시멘트 클링커 鑽物과 그 水和反應

포틀랜드 시멘트 클링커 鑽物은 alite, belite, aluminate 및 ferrite로 되어 있다. 많은 포틀랜드 시멘트 클링커에서 각 組成鑽物을 分離하여 定量한 結果 그 組成은 〈表-1〉과 같이 얻어졌다.¹⁾ 即 alite는 C_3S , belite는 C_2S , aluminate는 $\text{C}_3\text{A}, \text{Fe}-\text{ferrite}$ 는 C_4AF 에 가까운 相이며 각기 若干의 Mg, Na, K, Fe등이 固溶되어 있다.

〈表-1〉

포틀랜드 시멘트 클링커 鑽物의 化學式과 組成

	SiO_2	Al_2O_3	Fe_2O_3	CaO	MgO	Na_2O	K_2O
Alite	$\text{Ca}_{106}\text{Mg}_2(\text{Na}_{1/4}\text{K}_{1/4}\text{Fe}_{1/2})\text{O}_{36}(\text{Al}_2\text{Si}_{34}\text{O}_{144})$						
Belite	$\text{Ca}_{87}\text{MgAlFe}(\text{Na}_{1/2}\text{K}_{1/2})(\text{Al}_3\text{Si}_{12}\text{O}_{180})$						
Ferrite	$\text{Ca}_{66}\text{Mg}_4(\text{Na}_{1/2}\text{K}_{1/2}\text{Fe})(\text{Al}_{40}\text{Fe}_{22}\text{Si}_5\text{Mg}_5\text{O}_{180})$						
Aluminate	$\text{Na}_6\text{K}_2\text{Ca}_{78}\text{Mg}_4(\text{Al}_{44}\text{Fe}_8\text{Si}_8\text{O}_{180})$						
Alite	24.83	1.24	0.49	72.23	0.98	0.09	0.14
Belite	32.50	2.63	1.03	62.83	0.52	0.20	0.30
Ferrite	3.61	24.51	22.08	44.50	4.36	0.37	0.57
Aluminate	5.88	27.43	7.81	53.49	1.97	2.27	1.15

이들 시멘트構成化合物들의反應性을 热力學的으로 보면 <表-2>와 같다.

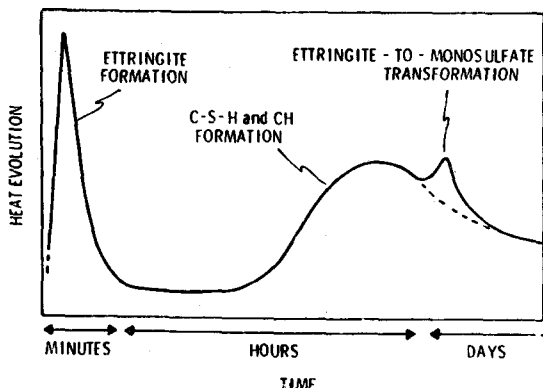
<表-2>

水和反應의 ΔH 와 ΔG

水和反應	ΔH_{298} Kcal/mole CaO	ΔG_{298} Kcal/mole CaO
$\text{CaO} + \text{H}_2\text{O} \rightarrow \text{Ca}(\text{OH})_2$	-15.60	-13.21
$3\text{CaO} \cdot \text{SiO}_2 + 2.17\text{H}_2\text{O} \rightarrow 2\text{CaO} \cdot \text{SiO}_2 \cdot 1.17\text{H}_2\text{O} + \text{Ca}(\text{OH})_2$	- 8.17	- 9.23
$\beta - 2\text{CaO} \cdot \text{SiO}_2 + 1.17\text{H}_2\text{O} \rightarrow 2\text{CaO} \cdot \text{SiO}_2 \cdot 1.17\text{H}_2\text{O}$	- 3.40	- 0.86
$3\text{CaO} \cdot \text{Al}_2\text{O}_3 + 6\text{H}_2\text{O} \rightarrow 3\text{CaO} \cdot \text{Al}_2\text{O}_3 \cdot 6\text{H}_2\text{O}$	-23.03	-18.67
$12\text{CaO} \cdot 7\text{Al}_2\text{O}_3 + 48\text{H}_2\text{O} \rightarrow 3(4\text{CaO} \cdot \text{Al}_2\text{O}_3 \cdot 12\text{H}_2\text{O}) + 8\text{Al}(\text{OH})_3$	-19.07	-16.60
$\text{CaSO}_4 \cdot \frac{1}{2}\text{H}_2\text{O} + 1.5\text{H}_2\text{O} \rightarrow \text{CaSO}_4 \cdot 2\text{H}_2\text{O}$	- 4.61	- 1.32
$\text{CaSO}_4 + 2\text{H}_2\text{O} \rightarrow \text{CaSO}_4 \cdot 2\text{H}_2\text{O}$	- 4.00	- 0.25

C_3S 의 水和를 例로 보면 CaO 1 mole 當 8.17 Kcal의 反應熱을 내면서 free energy의 變化가 -9.23 Kcal로, 反應이 热力學的으로 可能함을 보여주고 있다. (ΔG 에서 反應의 方向을 豫知할 수는 있으나 反應速度는 알 수 없다.)

시멘트의 水和反應時 水和에 따르는 發熱量의 測定은 이 水和熱量과 水和反應率이 반드시 比例關係라고는 할 수 없으나 水和反應速度 및 機構의 究明에 重要한 구실을 한다.²⁾ <그림-1>



<그림-1> 포틀랜드 시멘트의 水和熱曲線

서 준비되고 있다고 볼 수 있다. 이 誘導期間中에는 Ca 와 OH ion濃度가 漸次로 增加하고 있다. 誘導期의 反應機構^{3,4)}에 對하여는 保護膜說(protective-layer theories), 遲延核形成說(deleyed-nucleation theories) 및 諸說의 複合說等이 있다.

물과 接觸한 直後의 急速한 反應後 다음反應이 일어날때까지의 潛伏期間(誘導期)을 거쳐 加速的으로 活發한 反應이 일어나고(加速期). 그후 反應速度가 느려져 減速段階에 이르고 漸次 反應은 느려진다(減速期).

물과 接觸한 直後의 急激한 發熱은 乾燥粉末의 濕潤熱도 있는 하나, 主로 C_3S , C_3A 및 石膏의 加水分解 및 水和에 依한 것이다. 그후 겉보기에는 反應이 없는듯하나 實은 다음反應이 內部에

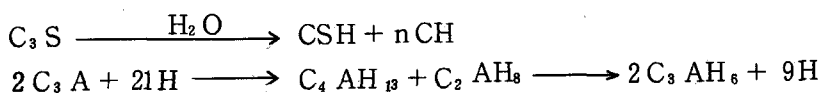
- 62 -

保護膜說에는 水和後數分內에 第一水和物이 生成하여 保護膜으로 作用하므로 誘導期가 시작되고 浸透性이 있는 第2水和物이 第一水和物을 둘러싸 反應은 빨라지고 誘導期를 마치며 第3水和物이 生成된다는 說⁵⁾, 初期生成物層은 半透膜으로 作用하고 膜內部에 浸透壓이 發生하여 膜을 膨脹시키고 나중에는 褶어져 誘導期를 마친다는 說⁶⁾, 初期에 膜이 形成되고 浸透機構가 作用하여 膜을 膨脹시키고 膜表面에 $\text{Ca}(\text{OH})_2$ 의 核이 形成되어 誘導期가 끝나고 膜이 弱해져 分裂하고 Si가 많은 内部와 Ca가 많은 外部가 서로 接觸하여 CSH가 形成된다는 說⁷⁾ 등이 있다.

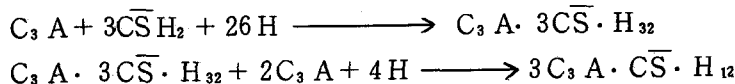
遲延核生成說은 水和反應生成物의 遲延核生成과 관련된다는 것이다.⁸⁾ C_3S 가 물과 接觸하면 proton이 酸素와 silicate ion에 붙고 Ca가 溶解한다. 따라서 Ca/Si 比가 낮은 膜이 形成되고 Ca와 물分子는 이 膜속을 천천히 이동한다. Ca와 OH ion이 液相中에서 過飽和狀態가 되면 CSH와 $\text{Ca}(\text{OH})_2$ 의 核이 生成하여 反應은 빨라지고 誘導期는 끝난다.

加速期는 포틀랜드 시멘트의 主要構成化合物인 alite의 反應에 依한 것으로 다시 反應은 活發해지고 水和反應生成物이 增加하여 粒子間이 離開되고 未水和物이 水和物로 쌓이면 물이나 ion의 移動이 느려져 反應速度가 작아지고 減速期에 이른다.

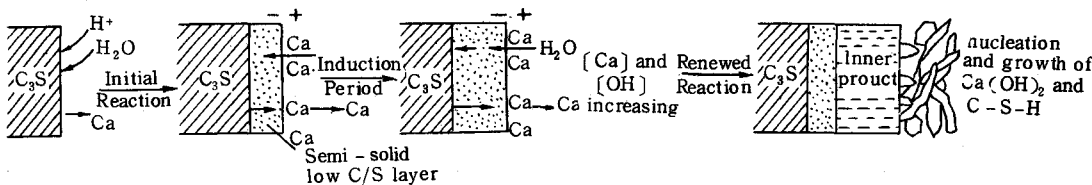
시멘트가 물과 反應하여 水和할 때의 反應은 構成礦物, 微量成分, 粒度, W/C比, 反應溫度등에 따라 複雜하며 簡單한 化學式으로 表現하기는 困難하다. 그러나 알기 쉽게 說明하기 為하여 시멘트 構成礦物中 C_3S 와 C_3A 의 물과의 反應을 例로 들어 一般的인 式으로 表示하면 다음과 같다.



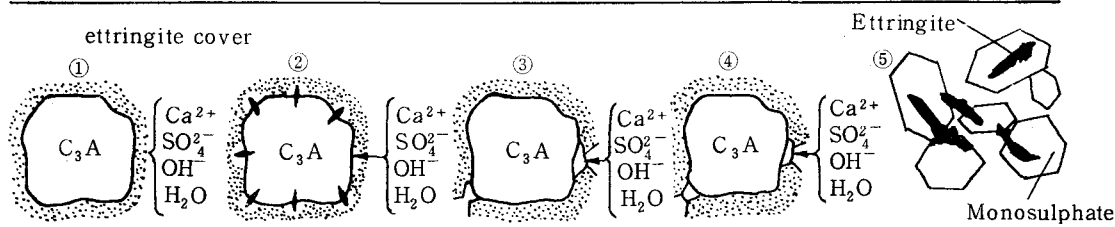
C_3A 는 石膏存在下에서



<그림-2>와 <그림-3>은 C_3S , C_3A 의 水和를 圖示 說明한 例^{3,4)}이다.



<그림-2> C_3S 의 水和過程



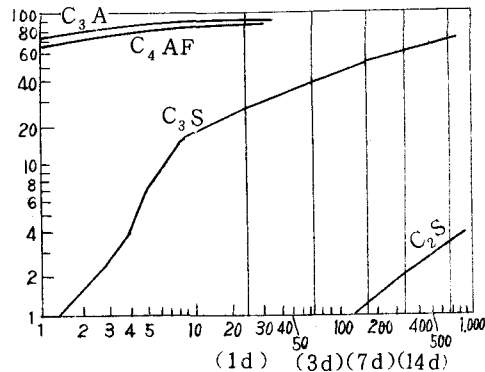
- ① Formation of a thin cover of ettringite on the C_3A surface.
- ② A further amount of ettringite is formed on the C_3A surface ; \longleftrightarrow crystallization pressure.
- ③ Bursting of the ettringite cover due to the pressure of crystallization.
- ④ The burst section is closed by newly formed ettringite.
- ⑤ The SO_4^{2-} is not sufficient for the formation of ettringite ; complete hydration of C_3A with consumption of ettringite to form $C_3AC_sH_{12}$, $C_3A(C_s, CH)H_{12}$.

〈그림-3〉 C_3A 의 水和過程

3. 클링커 組成과 粉末度가 水和反應速度에 미치는 影響

(1) 시멘트組成 및 微量成分

시멘트를 構成하는 組成礦物의 水和時間에 따르는 水和率⁹⁾은 〈그림-4〉와 같다. 여기서 C_3A 와 C_4AF 는 水和가相當히 빨라 凝結時間에 영향을 줄 수 있음을 알 수 있다. 또 C_3S 는 初期強度에 그리고 $\beta-C_2S$ 는 後期強度에 기여함을 보이고 있다. 따라서 早強性을 높이려면 組成의으로는 alite를 増量하여 한다. 〈表-3〉은 普通, 早強 및 超早強 포틀랜드 시멘트를 比較¹⁰⁾한 것이다.



〈그림-4〉 시멘트 構成礦物의 水和率

〈表-3〉 普通 早強 및 超早強 포틀랜드 시멘트의 矿物組成과 物性例

		超早強 포틀랜드 시멘트			早強 포틀랜드 시멘트	普通 포틀랜드 시멘트
		A	B	C		
礦物組成	C_3S	65 ~ 68	55	70	65	53
	C_2S	5 ~ 11	21	1	11	24
	C_3A	7 ~ 9	10	9	8	8
	C_4AF	7 ~ 9	6	8	9	10
比重		3.13	3.11	3.05	3.13	3.17
比表面積(cm^2/g)		5,810	7,170	5,370	4,340	3,220
凝結(hr-min)	初結	1 ~ 30	—	2 ~ 40	2 ~ 8	2 ~ 22
	終結	2 ~ 25	—	3 ~ 25	3 ~ 15	3 ~ 20
壓縮強度(kg/cm^2)	1日	215	165	221	100	44
	3日	335	337	300	237	133
	7日	421	428	358	351	228
	28日	488	542	421	478	415

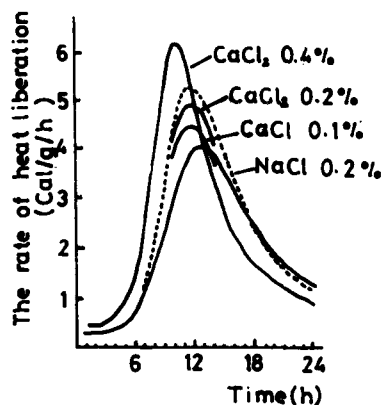
시멘트 클링커中의 微量成分은 水和速度에 영향을 미친다. <表-4>는 alite에 固溶되어 있는 微量成分이 水和率에 미치는 영향⁹⁾을 보이고 있다. 1日 強度에서 超早強을 얻고자 할 때는 微量成分의 固溶도 問題가 된다.

<表-4> Alite의 水和率에 미치는 微量成分의 영향

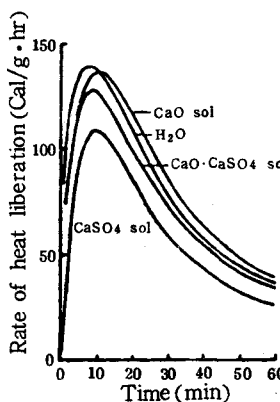
	水和物(%)	
	1日	2日
C ₃ S	42	47
C ₃ S + MgO 1%	52	60
C ₃ S + Al ₂ O ₃ 1%	56	72
C ₃ S + Fe ₂ O ₃ 1%	29	69

의 영향¹²⁾을 보이고 있다.

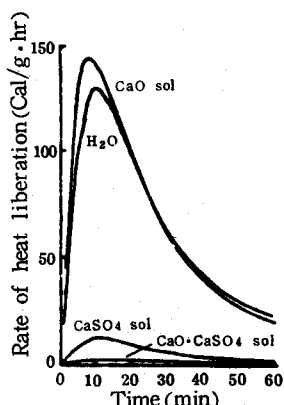
한편 水和時에도 微量成分의 영향을 받는다. <그림-5>는 포틀랜드 시멘트의 水和反應에 미치는 鹽化物의 영향¹¹⁾을 보이고 있으며, <그림-6>은 C₃A와 C₄AF의 水和反應에 미치는 CaO, CaSO₄ solution의 영향¹²⁾을 보이고 있다.



<그림-5> 포틀랜드 시멘트에
鹽化物를 添加했을 때의 水和熱曲線



<그림-6> C₃A와 C₄AF에 石灰, 石膏 및 石
灰-石膏溶液을 加熱을 때의 水和熱曲線



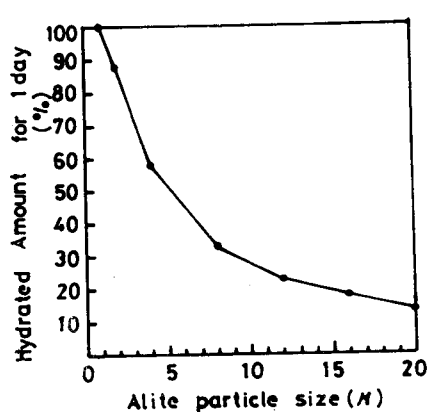
시멘트 水和反應의 促進劑 遲延劑에 對하여는 많은 研究가 있다. 無機電解質 ion 은 促進作用, -OH -COOH = CO 基를 갖는 것은 遲延作用이 있다고 報告되었으며, 且 水溶性高分子, 高分子電解質, 各種界面活性劑 등이 포틀랜드 시멘트의 水和反應에 미치는 影響도 調査되었다.¹³⁾

(2) 粉末度

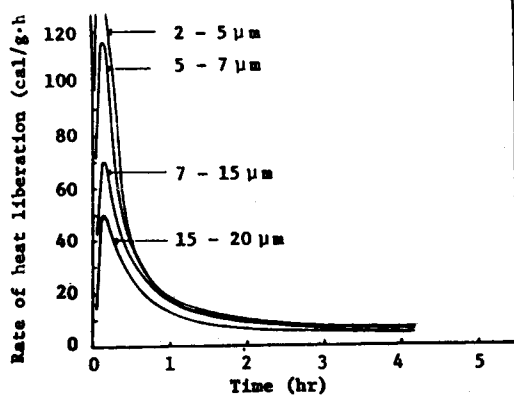
시멘트의 水和는 粉末度가 微細할 수록 빠른 것은 當然하다. <表-3>에 普通, 早強, 超早強 포틀랜드 시멘트의 粉末度와 強度의 例를 보이고 있다.

<그림-7>은 alite 粒子徑과 1日 水和量⁹⁾을 보이고 있는데, 普通 포틀랜드 시멘트

의 粉末度가 $3,000 \text{ cm}^2/\text{g}$ 에서는 約 15 %가 水和했는데 $30,000 \text{ cm}^2/\text{g}$ 에서는 約 90 %가 水和한다. 또 <그림-8>은 C_4AF 의 粒度에 따른 水和熱¹²⁾을 보이고 있다. 그러나 粉末度가 微細하면 콘크리트의 單位水量이 많아져 硬化體의 收縮과도 관련된다. 또 微粉碎時의 mechanochemical 現象의 영향도 고려하여야 한다.



<그림-7> Alite의 粒径과 水和量과의
關係



<그림-8> C_4AF 의 粒径에 따른
水和熱

4. 슬래그의 水和反應

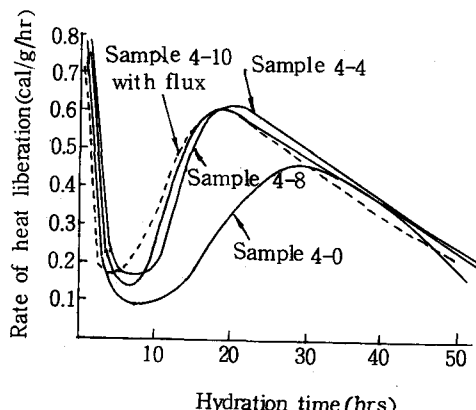
(1) 高爐水淬슬래그

高爐슬래그를 水冷하여 水碎하면 glass化하여 反應性은 커지나 그 粉末을 그대로 물과 接觸시켜도 水和反應은 거이 進行되지 않는다. 그러나 어떤 條件下에 놓이면 水和反應性을 보인다. 例를 들어 高爐水淬슬래그를 少量의 $\text{Ca}(\text{OH})_2$ 와 共存시켜 水和를 시키면 反應은 進行한다. 이와같은 特性을 潛在水硬性이라 한다. 또 水和反應이 시작하면 슬래그 中에 舍有되어 있는 알칼리性 物質이 溶出하여 계속 알칼리 零圍氣를 유지하므로 처음 添加한 알칼리性 物質은 처음 水和를 이르키기 위한 作用을 할 뿐 化學量論的으로 必要한 것은 아니다. 이와 類似한 反應으로 pozzolan 反應이 있는데 이 경우는 化學量論的인 $\text{Ca}(\text{OH})_2$ 量이 必要한 水和反應이다.

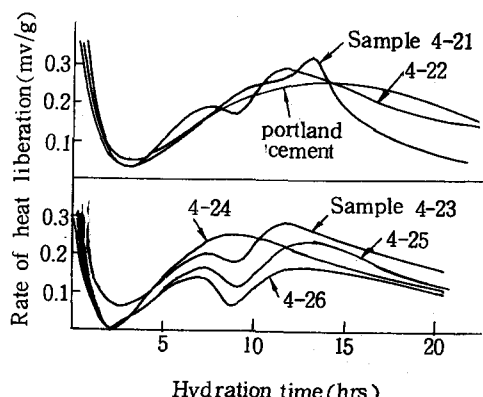
高爐水淬슬래그의 이와 같은 水和反應은 알칼리와 같은 刺戟劑의 刺戟效果를 받아 슬래그 成分의 溶出과 이들의 反應에 따른 ettringite 와 gel 狀의 CSH, AH₃ 등이 生成하면서 進行되며, 이를 水相生成物은 ettringite를 골격으로 치밀한 微構造를 形成하여 硬化體를 이루어 強度를 발현하며, 이 水和機構는 슬래그의 溶解度와 $\text{CaO} - \text{Al}_2\text{O}_3 -$

$\text{CaSO}_4 - \text{H}_2\text{O}$ 4成分系狀態圖에서 說明된다.

高爐水淬슬래그의 水和反應性은 水碎化溫度와 組成과도 관계된다. 슬래그 融液은 Frenkel type liquid 이므로 glass化가 어려우며 水和反應性을 向上시키기 위하여는 1300°C 이상에서 水碎하여야 한다. 또 P社産 슬래그에 CaO 를 加하여 改質할 경우 CaO/SiO_2 의 比가 1.51 까지(融劑를 使用할 경우 1.57까지) glass化가 可能하였으며 水和反應性도 向上되었다.¹⁵⁾ <그림-9>는 P社産 슬래그(sample 4-0)와 改質 슬래그의 水和反應熱을 比較한 것이다.



<그림-9> 高爐水淬슬래그의
水和熱 曲線



<그림-10> 改質한 轉爐슬래그의 水和熱
曲線

(2) 轉爐슬래그

轉爐슬래그는 $\text{C}_2\text{S}, \text{C}_4\text{AF}$ 등 成分을 一部 含有하고 있으나 이들이 各己 $\text{C}_3\text{P}, \text{C}_2\text{F}$ 등과 固溶體로 存在하여 그 水和反應性은 한층 떨어져 거의 水和하지 않는다.

그러나 이 轉爐슬래그를 高溫 溶融 還元 處理하므로서 含有되고 있는 金屬成分을 分離 除去하고 여기에 適當量의 CaO, SiO_2 등을 添加하여 改質함으로써 水和反應性이 큰 水硬性 클링커를 만들 수 있었다.¹⁶⁾ <그림-10>의 上圖는 改質한 轉爐슬래그와 포틀랜드 시멘트의 水和를 比較한 것인데 改質條件에 따라서는 普通 포틀랜드 시멘트를 능가하는 水和反應性을 갖는 클링커를 얻을 可能性을 보여주고 있으며, 下圖는 이 改質 클링커와 高爐水淬슬래그 등으로 만든 시멘트의 水和熱을 보여주고 있다. 이 結果들은 轉爐슬래그로 改質함으로써 시멘트를 만들 수 있음을 말해 주고 있다.

5. 結 言

最近 시멘트 化學은 많은 發展을 보이고 있다. 化學分析을 비롯하여 X線分析, 热分

析, 水和熱測定, 電子 및 走查顯微鏡觀察, 등 여러가지 新銳 分析機器에 依한 신속하고 정확한 研究로 시멘트 클링커의 本性이 解明되고 있으며 시멘트 水和反應의 機構와 速度에 對해서도 究明되고 있다.

시멘트 化學의 發展은 새로운 시멘트의 開發과 工程 開發에도 기여하고 있으며 또 에너지 및 資源節約에도 공헌하고 있다.

앞으로 시멘트로 用途의 多樣化에 適應하는 即 要求에 應하는 製品의 開發이 이루어져야 할 것이며, 시멘트 化學은 이를 뒷받침해 주어야 할 것이다.

參 考 文 獻

- 1) G. Yamaguchi, S. Takagi ; Proc. 5 th Int. Symp. Chemi. Cement, 1, 210 (1968)
- 2) 崔相紹, 제 6 회 시멘트 심포지움, 21 (1978)
- 3) J. Skalny, I. Jawed, H. F. W. Taylor, World Cement Technology, 9(6), 183 (1978).
- 4) H. F. W. Taylor, 시멘트技術年報 (日) 33, 21(1979).
- 5) H. N. Stein, J. M. Stevels, J. Appl. Chem. 14, 338(1964).
- 6) D. D. Double, A. Hallawell, S. J. Perry, Proc. Roy. Soc. A 359, 435~451(1978).
- 7) H. M. Jennings, P. L. Pratt, Proc. Brit. Ceram. Soc. (1979).
- 8) M. E. Tadros, J. Skalny, R. S. Kalyoncu, J. Amer. Ceram. Soc. 59 344 (1976).
- 9) 植田俊朗, 시멘트와 콘크리트의 知識, p 56, 麗島出版(日), (1977).
- 10) 森茂二郎, 新しい 시멘트와 콘크리트, p 135, 建設綜合資料(日) (1975).
- 11) 川田尚哉, 콘크리트 쪽어날(日), 12 (10), 25 (1974).
- 12) 後藤誠史, 시멘트의 水和反應에 따르는 組織의 形成과 硬化體中에서의 이온의 動, 學位論文(東京工大) p. 24 (1977).
- 13) 近藤連一, 後藤誠史, 大門正機, 콘크리트工學(日), 14(1), 24(1976).
- 14) 池政植, 崔相紹, 與業학회지, 15(4), 205(1978).
- 15) 吳熙鉉, 崔相紹, 與業학회지, 16(4), 237(1979).
- 16) 崔相紹, 未發表